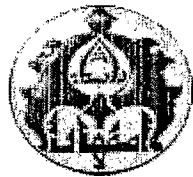


~~٢٤١٦~~  
~~٢٤١٧~~



٢٤١٧



دانشگاه اصفهان

دانشکده علوم

گروه شیمی

## پایان نامه‌ی کارشناسی ارشد رشته‌ی شیمی گرایش تجزیه

مطالعه‌ی اسپکتروفتوومتری کمپاکس انتقال بار C222 و تراسیانواتیلن (TCNE) در  
حلال‌های دی، تری و تراکلرومتان

استاد راهنما:

دکتر علیرضا فیروز

استاد مشاور:

دکتر ابوالفضل سمنانی

پژوهشگر:

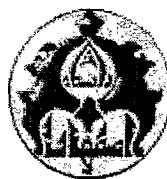
لیلا کاشفی خیرآبادی

شهریور ماه ۱۳۸۷

۱۰۸۰۵۰

کلیه حقوق مادی مترتب بر نتایج مطالعات، ابتكارات  
و نوآوری های ناشی از تحقیق موضوع این پایان نامه  
متعلق به دانشگاه اصفهان است.

پیووه گروه  
رهاش سرمه اسست  
تحصیلات تکمیلی دانشگاه اصفهان



دانشگاه اصفهان

دانشکده علوم

گروه شیمی

## پایان نامه‌ی کارشناسی ارشد رشته‌ی شیمی گرایش شیمی تجزیه

خانم لیلا کاشفی خیرآبادی

تحت عنوان:

### مطالعه‌ی اسپکتروفتوومتری کمپلکس انتقال بار C222 و تراسیانوواتیلن (TCNE) در حلال‌های دی، تری و تراکلرومتان

در تاریخ ۱۳۸۷/۰۶/۲۷ توسط هیأت داوران زیر بررسی و با درجه‌ی حاصل به تصویب نهایی رسید.

با مرتبه‌ی علمی استادیار امضاء

۱- استاد راهنمای پایان نامه: دکتر علیرضا فیروز

با مرتبه‌ی علمی دانشیار امضاء

۲- استاد مشاور پایان نامه: دکتر ابوالفضل سمنانی

با مرتبه‌ی علمی استاد امضاء

۳- استاد کاور داخل گروه: دکتر محمد کاظم امینی

با مرتبه‌ی علمی استاد امضاء

۴- استاد داور خارج از گروه: دکتر علیرضا فخاری زواره

امینی مدیر گروه  
دکتر ولی الله میرخانی

سپاس پروردگار را که بر من منت نهاد تا از سرچشمه علم و معرفت توشهای بر گیرم. سپاس خدای را به هر چه که او را گرامی ترین آفریدگانش و پسندیده ترین ستایش کنندگانش ستوده اند. سپاسی که بر سپاس های دیگر برتری داشته باشد مانند برتری او بر همه آفریدگانش. امیدوارم مرا در ادامه راهنم که همانا تحصیل معرفت بیشتر و خدمت به خلق اوست یاری نماید. باشد که مقبول در گاهش واقع شود.

در این قسمت از تمامی عزیزانی که در تحقق این امر مرا یاری نمودند سپاس گزاری می نمایم.

در آغاز بر خود لازم می دانم از استاد عزیز و بزرگوارم جناب آقای دکتر علیرضا فیروز به پاس راهنمایی ها و محبت های بی دریغ شان صمیمانه تشکر کنم و از این که افتخار شاگردی در محضر ایشان را یافتم بسیار خرسندم.

از استاد مشاور ارجمند من جناب آقای دکتر ابوالفضل سمنانی به خاطر قبول زحمت مشاوره این پایان نامه سپاس گزارم.

از اساتید داور محترم آقایان دکتر علیرضا فخاری زواره و دکتر محمد کاظم امینی به خاطر زحمت داوری و مطالعه این پایان نامه و ارائه نظرات سودمند نهایت سپاس گزاری را دارم.

از مدیریت محترم گروه شیمی جناب آقای دکتر ولی الله میرخانی و تمامی پرسنل گروه که در طول انجام این پروژه مرا همراهی کردند بسیار مشکرم.

هم چنین خداوند را شاکرم که در این دوره کوتاه از همراهی دوستانی بهره بردم که معنای واقعی دوستی را از آنان آموختم. از همکلاسی ها و دوستان مهریانم خانمها زهرا نصری، زهرا همتیان، فاطمه طاهری و سمیه کاخکی که زیباترین روزهای جوانیم با یادآوری طنین خنده هایشان رنگ و بو گرفته است به پاس همه محبت ها و کمک هایشان سپاس گزارم.

از رزیتای با وفا و مهربانم که نسیم محبت شن همواره در سال های طولانی به دوستی مان طراوت بخشیده است قدردانی می کنم.

در نهایت برای تمامی عزیزانی که حتی سهمی کوچک در موفقیت من داشتند آرزوی سلامتی و موفقیت روزافزون دارم.

لیلا کاشفی

شهریور ماه ۱۳۸۷

بپاس تعبیر عظیم و انسان شان

از گلمه «دوسنی»

بپاس عاطفه سرشار شان

که در این برهوت بدگانی و شک

چون شب چراغی می درخشد و روح را از تنها می ونا میدی رهایی می دهد

و کرامی امید نخشنان

که در این سردترین روزگاران

نمایوری را تحفظ می کند

بپاس قلب های بزرگی که فریاد س است

و سرگردانی و ترس

دپناهشان به «شجاعت» می کرید

بپاس محبت بی دینی که فروکش نمی کند

وانسانیتی که در بردا نظمت از پادر نمی آید

این مجموعه وجود بی کران دوستاره زندگیم،

در رهادار حمند م تقدیم می کرد.

تقدیم به:

خواهان و برادران عزیزم

که همواره پشت گرمی و حمایشان مایه مباراکتم بوده است

و وجودم لبریز از عشق به آن هاست

و تقدیم به:

آنان که دلهاشان آگنده از محبت و صفات و من دوستیان دارم

## چکیده

یک مطالعه اسپکتروفوتومتری با تمرکز بر برهmekش بین ۱۰۷ و ۱۳۱ و ۱۶۱ و ۲۴۲- هگزاکسا- ۱۰۹- دی آزا- بی سیکلو [۸,۸,۸] هگزاکسان (کریپتند [۲.۲.۲]) به عنوان دهنده ۱۱ و تراسیانواتیلن به عنوان پذیرنده  $\pi$  در حلال‌های دی، تری و تراکلرومتان در دماهای مختلف انجام پذیرفته است. با توجه به بررسی‌های انجام گرفته محل‌های فعال واکنش در C222 نیتروژن‌ها می‌باشند و اکسیژن‌ها در واکنش تشکیل کمپلکس ندارند. نتایج روش‌های نسبت مولی و تغییرات پیوسته تشکیل یک کمپلکس انتقال بار ۱:۱ را طی یک واکنش تعادلی در کلیه حلال‌ها و دماهای نشان می‌دهد. ضرایب جذب مولی و ثابت‌های پایداری در دماهای مختلف از برآش کامپیوتوری داده‌های جذب- نسبت مولی در محیط نرم افزاری MATLAB محاسبه شدن. نتایج نشان می‌دهد که در حلال‌های مختلف ضرایب جذب مولی به ترتیب دی کلرومتان < تری کلرومتان < تراکلرومتان افزایش می‌یابد، که مطابق با قطبیت نسبی حلال‌ها می‌باشد. ثابت‌های پایداری کمپلکس‌ها با افزایش دما کاهش می‌یابد و در حلال‌های مختلف ثابت پایداری کمپلکس‌ها به ترتیب تری کلرومتان < دی کلرومتان < تراکلرومتان افزایش می‌یابد. مقادیر  $\Delta H^0$  و  $\Delta S^0$  به ترتیب در هر سه حلال و در دماهای مختلف توسط روش وانت- هوف به دست آمد. داده‌های به دست آمده نشان می‌دهد که آنتالپی تشکیل کلیه کمپلکس‌ها مساعد و آتریوپی تشکیل کمپلکس‌ها به استثنای کلروفرم در بقیه حلال‌ها نامساعد می‌باشد. لازم به توضیح است که پیوندهای هیدروژنی نقش مهمی را در تغییرات آتریوپی ایفا می‌نمایند. نتایج سیتیکی یک واکنش مرتبه دوم را که نسبت به هر کدام از واکنش‌گرها مرتبه اول می‌باشد، نشان می‌دهد. حاصل از مطالعات سیتیکی نشان می‌دهند که در کلیه موارد قبل از اولین اندازه‌گیری ممکن توسط دستگاه‌های موجود، حدود ۵۰ درصد واکنش کامل می‌گردد و از آنجا که برای اندازه‌گیری پارامترهای سیتیکی داده‌های مربوط به ۱ تا ۵ درصد ابتدای واکنش موردارزیابی قرار می‌گیرند، بنابراین محاسبه و اندازه‌گیری دقیق ثابت‌های سرعت و انرژی‌های فعال‌سازی با امکانات موجود میسر نیست. با وجود این بررسی‌های کیفی نشان می‌دهد که حلال در سرعت واکنش‌ها مؤثر بوده و انرژی فعال‌سازی و ثابت‌های سرعت در حلال‌های مختلف متفاوت است که این روند به شدت تشکیل پیوندهای هیدروژنی وابسته است. مقایسه طیف‌های مادون قرمز کمپلکس با دهنده و پذیرنده آزاد حاکی از کاهش آزادی حرکت گروه‌های  $\text{CH}_2$  در حین کمپلکس شدن می‌باشد. در کلیه موارد نتایج هدایت‌سنگی عدم تشکیل یون آزاد در محیط را نشان می‌دهد.

کلید واژه‌ها: اسپکتروفوتومتری، کمپلکس انتقال بار، C222، TCNE.

## فهرست مطالب

عنوان	صفحة
<b>فصل اول: مقدمه و تئوری</b>	
۱-۱- تاریخچه	۱
۲-۱- ترکیبات کمپلکس	۴
۳-۱- ساختار کمپلکس‌ها	۵
۴-۱- فرآیند تشکیل کمپلکس بین ملکول‌های خنثی و ماکروسیکل‌های مختلف	۷
۴-۲- برهمکنش با لیگاندهای ماکروسیکل	۷
۴-۳- عوامل مؤثر بر پایداری و گزینش‌پذیری	۱۱
۴-۴-۱- پارامترهای گونه دهنده (لیگاند)	۱۱
۴-۴-۲- نوع اتم دهنده	۱۱
۴-۴-۳- مکان‌های پیوندی لیگاند	۱۳
۴-۴-۴-۱- تعداد اتم دهنده	۱۳
۴-۴-۴-۲- آرایش اتم‌های دهنده	۱۴
۴-۴-۴-۳- اندازه‌ی حفره و شکل آن	۱۴
۴-۴-۴-۴-۱- تعداد و نوع حلقه (ساختار لیگاند)	۱۴
۴-۴-۴-۵- انعطاف پذیری و سختی مربوط به صورت‌بندی لیگاند	۱۴
۴-۴-۴-۶- پارامترهای گونه‌ی پذیرنده	۱۵
۴-۴-۴-۷- تعیین تجربی ثابت‌های پایداری کمپلکس‌ها	۱۷
۴-۴-۸- بررسی‌های ترمودینامیکی کمپلکس‌های تشکیل شده	۱۷
۴-۴-۹- سرعت برهمکنش ملکول خنثی- درشت حلقه	۱۹
۴-۴-۱۰- کاربردهای کمپلکس‌های تشکیل شده	۲۰
۴-۴-۱۱- کریپتندها و سنتز آن‌ها	۲۱
۴-۴-۱۲- حلال‌های ناآبی	۲۱
۴-۴-۱۳- حلال‌های بین حلalan و حل شونده	۲۲
۴-۴-۱۴- قدرت دهنده‌ی و پذیرنده‌ی حلال‌ها	۲۵
۴-۴-۱۵- مروری بر تحقیقات انجام شده	۲۸

صفحه	عنوان
۳۴	۱۲-۱- هدف از انجام این تحقیق
	<b>فصل دوم: بخش تجربی</b>
۳۵	۱-۲- حلال‌ها و مواد شیمیایی
۳۵	۱-۱-۱- حلال‌ها
۳۶	۱-۱-۱-۱- دی‌کلرومتان
۳۶	۱-۱-۱-۲- تری‌کلرومتان
۳۷	۱-۱-۱-۳- تراکلرومتان
۳۷	۲-۱-۲- مواد شیمیایی
۳۷	۲-۱-۲-۱- کریپتند C222
۳۸	۲-۲-۱-۲- تتراسیانواتیلن
۳۹	۲-۲- دستگاه‌ها
۳۹	۱-۲-۱- دستگاه اسپکتروفوتومتر UV-Vis
۳۹	۱-۲-۲- دستگاه هدایت سنج
۳۹	۳-۲-۲- دستگاه IR
۳۹	۳-۲- روش‌ها
۳۹	۱-۳-۲- روش نسبت مولی
۴۲	۲-۳-۲- روش تغییرات پیوسته
۴۳	۴-۲- محلول‌سازی
۴۳	۱-۴-۲- ساخت محلول‌های تتراسیانواتیلن
۴۳	۱-۱-۴-۲- خالص سازی
۴۴	۲-۱-۴-۲- ساخت محلول مادر TCNE
۴۵	۲-۴-۲- ساخت محلول مادر C222
۴۵	۵-۲- روش کار
۴۷	۶-۲- روش کار هدایت‌سنگی
۴۷	۷-۲- طیف‌های مادون قرمز



## فهرست شکل‌ها

صفحه	عنوان
۲	شکل (۱-۱): ساختار ملکولی دی بنزو-۱۸-کراون-۶
۳	شکل (۱-۲): ساختار ملکولی کریپتند [۲.۲.۲]
۸	شکل (۱-۳): ساختار ملکولی دی‌سیکلوهگزیل-۱۸-کراون-۶
۸	شکل (۱-۴): ساختار ملکولی ۱۸-کراون-۶
۸	شکل (۱-۵): ساختار ملکولی ۱۰-دی‌سولفورو-۱۸-کراون-۶
۱۱	شکل (۱-۶): یک نمونه از اسفراندها (Spher-18C3)
۱۲	شکل (۱-۷): ساختار ملکولی کریپتند ۳.۷۰
۱۶	شکل (۱-۸): ساختار ملکولی بنزو-۱۸-کراون-۶
۳۸	شکل (۱-۹): ساختار مولکولی تتراسیانواتیلن
۴۱	شکل (۲-۱): منحنی نسبت مولی برای یک کمپلکس ۱:۱ (الف) و یک کمپلکس ۱:۲ (ب)
۴۳	شکل (۲-۲): منحنی تغییرات پیوسته برای یک کمپلکس ۱:۲
۴۹	شکل (۲-۳): طیف‌های UV- Vis. محلول‌های با غلظت تجزیه‌ای ثابت $2.0 \times 10^{-4}$ مولار C222 و غلظت‌های تجزیه‌ای متفاوت TCNE در حلal دی‌کلرومتان و در دمای ۲۰ درجه سانتی‌گراد
۵۰	شکل (۲-۴): طیف‌های UV- Vis. محلول‌های با غلظت تجزیه‌ای ثابت $1.0 \times 10^{-4}$ مولار C222 و غلظت‌های تجزیه‌ای مختلف TCNE در حلal تری‌کلرومتان و در دمای ۲۰ درجه سانتی‌گراد
۵۱	شکل (۲-۵): طیف‌های UV- Vis. محلول‌های با غلظت تجزیه‌ای ثابت $1.0 \times 10^{-4}$ مولار C222 و غلظت‌های تجزیه‌ای مختلف TCNE در حلal تراکلرومتان و در دمای ۲۰ درجه سانتی‌گراد
۵۲	شکل (۳-۱): ساختار ملکولی ۱۸-کراون-۶

## عنوان

## صفحة

شکل (۵-۳): تغییرات جذب نسبت به زمان برای محلول $10^{-4}$ مولار TCNE و $10^{-4}$ مولار C222 در حلال دی‌کلرومتان و در دماهای مختلف.....	۵۳
شکل (۶-۳): منحنی‌های جذب- نسبت مولی برای محلول‌های $10^{-4}$ مولار C222 و غلظت‌های متفاوت TCNE در حلال دی‌کلرومتان در دماهای مختلف.....	۵۶
شکل (۷-۳): منحنی‌های جاب در دمای ۵ و ۲۰ درجه سانتی‌گراد در حلال دی‌کلرومتان.....	۵۶
شکل (۸-۳): تغییرات جذب نسبت به زمان برای محلول $10^{-4}$ مولار C222 و $10^{-3}$ مولار TCNE در دماهای مختلف و در حلال تری‌کلرومتان.....	۵۷
شکل (۹-۳): منحنی‌های جذب- نسبت مولی برای محلول‌های $10^{-4}$ مولار C222 و غلظت‌های متفاوت TCNE در حلال تری‌کلرومتان در دماهای مختلف.....	۶۰
شکل (۱۰-۳): منحنی‌های جاب در دمای ۵ و ۲۰ درجه سانتی‌گراد و در حلال تری‌کلرومتان.....	۶۰
شکل (۱۱-۳): تغییرات جذب نسبت به زمان برای محلول $10^{-4}$ مولار C222 و $10^{-3}$ مولار TCNE در دماهای مختلف و در حلال تراکلرومتان.....	۶۱
شکل (۱۲-۳): منحنی‌های جذب- نسبت مولی برای محلول‌های $10^{-4}$ مولار C222 و غلظت‌های متفاوت TCNE در حلال تراکلرومتان در دماهای مختلف.....	۶۴
شکل (۱۳-۳): منحنی‌های جاب در دماهای ۵ و ۲۰ درجه سانتی‌گراد و در حلال تراکلرومتان.....	۶۴
شکل (۱۴-۳): برازش غیرخطی داده‌های جذب- نسبت مولی در دماهای مختلف مربوط به حلال دی‌کلرومتان.....	۶۶
شکل (۱۵-۳): نحوه محاسبه ثابت پایداری با استفاده از منحنی جاب.....	۶۶
شکل (۱۶-۳): ترسیم لگاریتم $K_1$ به صورت تابعی از $1/T$ مربوط به حلال دی‌کلرومتان.....	۶۷
شکل (۱۷-۳): برازش غیرخطی داده‌های جذب- نسبت مولی در دماهای مختلف مربوط به حلال تری‌کلرومتان.....	۶۸
شکل (۱۸-۳): ترسیم لگاریتم $K_1$ به صورت تابعی از $1/T$ مربوط به حلال تری‌کلرومتان.....	۶۹

صفحه	عنوان
۷۰ .....	شکل(۱۹-۳): برازش غیرخطی داده‌های جذب- نسبت مولی در دماهای مختلف مربوط به حلal تتراکلرومتان.....
۷۱ .....	شکل (۲۰-۳): ترسیم لگاریتم $K_f$ به صورت تابعی از $1/T$ مربوط به حلal تتراکلرومتان.....
۷۹.....	شکل (۲۱-۳): طیف مادون قرمز TCNE (...), C222 (---) و کمپلکس ۱:۱ (—)

## فهرست جدول‌ها

عنوان	صفحه
جدول ۱-۱- تمايل دسته‌اي از هتروکريپتندها برای برشی یون‌های فلزی.....	۱۳
جدول ۲-۱- تأثير ثابت دی‌الكتريک و شعاع یونی بر انرژی حلال‌پوشی یون‌ها.....	۲۵
جدول ۱-۳- عدد دهنگی (DN SbCl <sub>5</sub> ) و ثابت دی‌الكتريک (D) برخی از حلال‌ها.....	۲۷
جدول ۳-۱- داده‌های جذب- نسبت مولی برای محلول‌های با غلظت $10^{-4}$ مولار C222 و غلظت‌های متفاوت TCNE در دماهای مختلف و در حلال دی‌كلرومتان.....	۵۴
جدول ۳-۲- داده‌های روش جاب (تغييرات پيوسته) در حلال دی‌كلرومتان و در دماهای مختلف.....	۵۵
جدول ۳-۳- داده‌های جذب- نسبت مولی برای محلول‌های با غلظت $2/5 \times 10^{-4}$ مولار C222 و غلظت‌های متفاوت TCNE در دماهای مختلف و در حلال تری‌كلرومتان.....	۵۸
جدول ۳-۴- داده‌های روش جاب (تغييرات پيوسته) در حلال تری‌كلرومتان و در دماهای مختلف.....	۵۹
جدول ۳-۵- داده‌های جذب- نسبت مولی برای محلول‌های با غلظت $2/0 \times 10^{-4}$ مولار C222 و غلظت‌های متفاوت TCNE در دماهای مختلف و در حلال ترا‌كلرومتان.....	۶۲
جدول ۳-۶- داده‌های روش جاب (تغييرات پيوسته) در حلال ترا‌كلرومتان و در دماهای مختلف.....	۶۳
جدول ۷-۳- لگاريتم ثابت‌های پайдاري محاسبه شده از روش‌های جاب و نسبت مولی و مقادير ضرائب جذب مولی محاسبه شده از داده‌های نسبت مولی؛ مربوط به حلال دی‌كلرومتان.....	۶۷
جدول ۸-۳- لگاريتم ثابت‌های پайдاري محاسبه شده از روش‌های جاب و نسبت مولی و مقادير ضرائب جذب مولی محاسبه شده از داده‌های نسبت مولی؛ مربوط به حلال تری‌كلرومтан.....	۶۸
جدول ۹-۳- لگاريتم ثابت‌های پайдاري محاسبه شده از روش‌های جاب و نسبت مولی و مقادير ضرائب جذب مولی محاسبه شده از داده‌های نسبت مولی؛ مربوط به حلال ترا‌كلرومتان.....	۷۰
جدول ۱۰-۳- ثابت‌های تعادل و ضرائب جذب مولی در دماهای مختلف همراه با پaramترهای ترموديناميکي مربوط به آن.....	۷۱

## عنوان

## صفحه

جدول ۱۱-۳ - تعیین درجه واکنش نسبت به TCNE در حلال دی‌کلرومتان.....	۷۵
جدول ۱۲-۳ - تعیین درجه واکنش نسبت به C222 در حلال دی‌کلرومتان.....	۷۵
جدول ۱۳-۳ - تعیین درجه واکنش نسبت به TCNE در حلال تری‌کلرومتان.....	۷۶
جدول ۱۴-۳ - تعیین درجه واکنش نسبت به C222 در حلال تری‌کلرومتان.....	۷۶
جدول ۱۵-۳ - تعیین درجه واکنش نسبت به TCNE در حلال تتراکلرومتان.....	۷۷
جدول ۱۶-۳ - تعیین درجه واکنش نسبت به C222 در حلال تتراکلرومتان.....	۷۷

## فصل اول

### مقدمه و تئوری

#### ۱-۱- تاریخچه

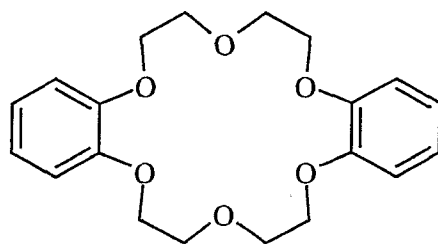
نخستین پلی اترهای درشت حلقه در سال ۱۹۳۷ توسط لوتر اینگاس<sup>۱</sup> که مطالعات زیادی روی ترکیبات با حلقه‌های درشت و متوسط داشت گزارش شد [۱]. اهمیت اساسی این ترکیبات از سال ۱۹۶۷ با کشف دی‌بنزو-کراون-۶ (شکل ۱-۱) توسط پدرسن<sup>۲</sup> مشخص گردید [۲]. مشاهده شد که این ترکیب و همولوگ‌های مشابه آن با فلزات قلیایی و قلیایی خاکی کمپلکس‌هایی را تشکیل می‌دهند که به طور غیر عادی پایدار هستند [۳ و ۴].

قبل از آن که پدرسن، تشکیل کمپلکس‌های پایدار بین پلی اترهای درشت حلقه و کاتیون‌هایی از فلزات قلیایی و قلیایی خاکی را گزارش کند، مشخص گردیده بود که تعدادی از پلی اترهای خطی مقادیر ناچیزی از فلز پتاسمیم و همچنین آلیاژ سدیم پتاسمیم را حل می‌کنند و محلول‌های ناپایدار آبی رنگی از الکترون‌های سولواته شده و کاتیون‌های سولواته شده تولید می‌کنند [۵].

<sup>1</sup>Luttinghaus

<sup>2</sup>DB18C6

<sup>3</sup>Pedersen



شکل (۱-۱): ساختار ملکولی دی بنزو-۱۸-کراون-۶

پدرسن مشاهده کرد که دی بنزو-۱۸-کراون-۶، به خودی خود در متانول نامحلول است، ولی با افزودن نمک‌های سدیم به راحتی حل می‌شود. پدرسن به دنبال پژوهش‌های اولیه‌اش بیش از ۶۰ ترکیب از کراون اترهای مختلف را به منظور تعیین اندازه‌ی بهینه حلقه و بهترین آرایش ساختاری اتم‌های اکسیژن در درشت حلقه‌ها برای واکنش با تعداد زیادی از گونه‌های کاتیونی بررسی و گزارش نمود. با این بررسی‌ها مشخص گردید که ترکیباتی که دارای ۵ تا ۱۰ اتم اکسیژن بوده و هر اتم اکسیژن توسط یک پل دو کربنی از اتم مجاور جدا شده است، مؤثرترین عوامل کمپلکس‌کننده هستند. این مشاهدات منجر به ستز بسیاری از اترها و آنالوگ‌های آن‌ها گردید [۶ و ۷]. اندکی بعد از کشف پدرسن، جین ماری لن<sup>۱</sup> در دانشگاه استرازبورگ موفق به طراحی مشابه‌های سه‌بعدی کراون اترها شد [۸]. پیش‌بینی می‌شد که یون فلزات می‌توانند به طور کامل درون ملکولی شیوه به کراون اترها قرار بگیرند. این ترکیبات را کریپتند<sup>۲</sup> نام‌گذاری کردند [۸]. لازم به توضیح است نام این ترکیبات از توانایی آن‌ها برای احاطه کردن کروی یا به دام انداختن یک کاتیون فلزی ناشی می‌شود؛ کلمه کریپت از ریشه یونانی کرابتوس به معنی مخفی نشأت می‌گیرد [۸].

اولین و مهم‌ترین عضو این سری ترکیبات کریپتند [۲۰.۲.۲]<sup>۳</sup> است که با نام تجاری کریپتوفیکس<sup>۴</sup> به فروش می‌رسد (شکل ۱-۲). نام آیوپاک این ترکیب <sup>۴</sup> و <sup>۷</sup> و <sup>۱۳</sup> و <sup>۱۶</sup> و <sup>۲۱</sup> و <sup>۲۴</sup>-هگزاکسا-۱۰-دیآزا-بی‌سیکلو [۸.۸.۸] هگزا-کسان<sup>۵</sup> است؛ که اعداد نشانگر تعداد اتم‌های اکسیژن اتری در هر کدام از سه پل بین نیتروژن‌های آمینی می‌باشد. بنابراین نام متدائل این ترکیب، یعنی کریپتند [۲۰.۲.۲] ترجیح داده می‌شود [۹]. از آنجایی که کریپتند [۲۰.۲.۲] دارای حلقه‌ای با اندازه مشابه با ۱۸-کراون-۶ است، این ملکول نسبت به یون پتاسیم بیشتر از

<sup>۱</sup> Jean Marie Lehn

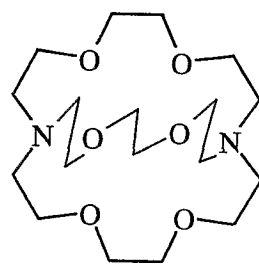
<sup>۲</sup> Cryptand

<sup>۳</sup> C222

<sup>۴</sup> Kryptofix

<sup>۵</sup> 4,7,13,16,21,24-hexaoxa-1,10-diazabicyclo[8.8.8]hexacosane

سایر فلزات قلایی گزینش‌پذیری نشان می‌دهد. اتصال یون پتاسیم به کریپتند [۲۰.۲] در متانول  $10^{\circ}$  بار قوی‌تر از کراون اتر مشابه می‌باشد. این در حالی است که کریپتند [۲۰.۱] برای یون سدیم گزینش‌پذیرتر است. نکته اساسی در بهبود غیرمنتظره توانایی اتصال کریپتندها به کاتیون‌های فلزی طبیعت سه بعدی حفره آن‌هاست [۸].



شکل (۲-۱): ساختار ملکولی کریپتند [۲۰.۲]

پس از سنتر ترکیبات خطی و غیرخطی حاوی پیوندهای اتری متوالی، آن‌ها جایگاه مهمی را در علم شیمی به خود اختصاص داده‌اند. پلی اترهای درشت حلقه و آنالوگ‌های آن‌ها در سال‌های اخیر کاربردهای متنوعی پیدا کرده‌اند. محققین بسیاری تاکنون در این زمینه به فعالیت پرداخته و بسیاری از شیمی‌دانان نیز هم اکنون در حال تحقیق و مطالعه روی این ترکیبات هستند. عاملی که به این دسته از مواد تا این اندازه اهمیت بخشیده است و توجه بسیاری را به خود معطوف داشته، کاربردهای وسیع آن‌ها در زمینه‌های مختلف علوم است

که از آن جمله می‌توان به موارد زیر اشاره کرد [۱۰]:

I) کاربرد به عنوان کاتالیست‌های انتقال فاز در انتقال یون‌ها از یک فاز به فاز دیگر.

II) استفاده در فرآیندهای جداسازی به عنوان عامل کمپلکس دهنده.

III) استفاده به عنوان گیرنده شبه حیاتی.

IV) کاربرد در کاتالیز کردن واکنش‌های شیمیایی.

V) کاربرد در تبدیل واکنش‌های شیمیایی به علایم الکترویکی.

VI) نقش سازنده در انتقال یون از غشاهای مصنوعی در مطالعات زیست‌شناسی.

VII) کاربرد در طراحی الکترودهای گزینش‌پذیر یونی و موارد گسترده دیگر که توسط محققین مختلف گزارش شده است [۱۱-۱۳].